

# 블록 암호 Piccolo-80에 대한 차분 오류 공격

## Differential Fault Analysis on Block Cipher Piccolo-80

정기태\*

Ki-Tae Jeong\*

### 요 약

64-비트 블록 암호 Piccolo-80은 무선 센서 네트워크 환경과 같이 제한된 환경에 적합하도록 설계된 경량 블록 암호이다. 본 논문에서는 Piccolo-80에 대한 차분 오류 공격을 제안한다. 랜덤 바이트 오류 주입 가정에 기반을 둔 이 공격은 평균 6개의 랜덤 바이트 오류와  $2^{24}$ 의 전수조사를 이용하여, Piccolo-80의 비밀키를 복구한다. 이는 일반적인 PC에서 수 초 내에 가능함을 의미한다. 본 논문의 공격 결과는 Piccolo-80에 대한 첫 번째 부채널 분석 결과이다.

### Abstract

Piccolo-80 is a 64-bit ultra-light block cipher suitable for the constrained environments such as wireless sensor network environments. In this paper, we propose a differential fault analysis on Piccolo-80. Based on a random byte fault model, our attack can the secret key of Piccolo-80 by using the exhaustive search of  $2^{24}$  and six random byte fault injections on average. It can be simulated on a general PC within a few seconds. This result is the first known side-channel attack result on Piccolo-80.

Key words : Block cipher, Piccolo, Differential fault analysis

### I. 서 론

CHES 2011에 제안된 경량 블록 암호 Piccolo는 80/128-비트 비밀키를 사용하는 64-비트 블록 암호로서, 무선 센서 네트워크 환경과 같이 제한된 환경에 적합하도록 설계되었다 [1]. 이 알고리즘은 일반화된 Feistel 구조를 가지며, 비밀키의 길이에 따라, 각각 Piccolo-80, Piccolo-128로 표기된다. Piccolo-80의 전체 라운드 수는 25이고, Piccolo-128의 전체 라운드 수는 31이다. 기제안된 Piccolo에 대한 분석 결과는 ISPEC 2012에서 제안된 Biclique 공격이 유일하다

[2]. 하지만 지금까지 부채널 공격에 대한 분석 결과는 제안되지 않았다.

차분 오류 공격 (differential fault analysis, DFA)는 대표적인 부채널 공격 중의 하나로서, 1997년 Biham과 Shamir에 의해 처음 소개되었다 [3]. 이후 DFA는 SEED [4, 5], ARIA-128 [6], PRESENT [7], LED-64 [8] 등 대부분의 블록 암호에 적용되었다.

본 논문에서는 Piccolo-80에 대한 차분 오류 공격을 제안한다. 본 논문에서 제안하는 공격은 라운드 23의 입력 레지스터에 랜덤 바이트 오류를 주입한다는 가정을 이용한다. 따라서 주입 가능한 오류의 위

\* 고려대학교 정보보호연구원(Center for Information Security Technologies(CIST), Korea University)

· 제1저자 (First Author) : 정기태  
· 투고일자 : 2012년 5월 15일  
· 심사(수정)일자 : 2012년 5월 17일 (수정일자 : 2012년 6월 13일)  
· 게재일자 : 2012년 6월 30일

치는 8가지가 존재한다. 각각의 위치는 암호문의 차분을 확인함으로써 계산할 수 있다. 그래서 발생한 오류의 위치에 따라, 비밀키의 부분 정보를 얻을 수 있다. 일반적인 PC에서 이 공격을 구현한 결과, 평균 6개의 오류 주입과  $2^{24}$ 의 전수조사를 이용하여, 수 초 내에 Piccolo-80의 비밀키를 복구할 수 있었다. 이 공격 결과는 Piccolo-80에 대한 첫 번째 부채널 분석 결과이다.

본 논문은 다음과 같이 구성되어 있다. 먼저, 2절에서는 블록 암호 Piccolo-80의 구조를 소개한다. 3절에서는 오류 주입 가정과 오류가 주입된 위치를 계산하는 방법을 소개한 후, 4절에서 Piccolo-80에 대한 DFA를 소개한다. 마지막으로 5절에서 결론을 맺는다.

## II. Piccolo-80

64-비트 블록 암호 Piccolo-80은 그림 1과 같이 80-비트 비밀키를 사용하고 25-라운드 일반화된 Feistel 구조를 갖는다. 본 논문에서는 다음과 같은 표기법을 사용한다.

$P = (P_0, P_1, P_2, P_3)$ : 64-비트 평문.

$C = (C_0, C_1, C_2, C_3)$ : 64-비트 암호문.

$I_i = (I_{i,0}, I_{i,1}, I_{i,2}, I_{i,3})$ : 라운드  $i$ 의 64-비트 입력값 ( $i = 0, 1, \dots, 24$ ).

$(rk_{2i}, rk_{2i+1})$ : 라운드  $i$ 의 라운드 키.

$(wk_0, wk_1, wk_2, wk_3)$ : 화이트닝 키.

64-비트 평문  $P = (P_0, P_1, P_2, P_3)$ 는 먼저 다음과 같은 화이트닝 키 단계를 거쳐 라운드 0의 입력값  $I_0 = (I_{0,0}, I_{0,1}, I_{0,2}, I_{0,3})$ 이 된다.

$$I_{0,0} = P_0 \oplus wk_0, \quad I_{0,1} = P_1,$$

$$I_{0,2} = P_2 \oplus wk_1, \quad I_{0,3} = P_3.$$

$I_0 = (I_{0,0}, I_{0,1}, I_{0,2}, I_{0,3})$ 는 라운드 함수  $F$ 와 라

운드 치환  $RP$ 를 24번 반복 적용하여 라운드 24의 입력값  $I_{24} = (I_{24,0}, I_{24,1}, I_{24,2}, I_{24,3})$ 가 된다. 이 값으로부터 암호문  $C = (C_0, C_1, C_2, C_3)$ 는 다음과 같이 계산된다.

$$C_0 = I_{24,0} \oplus wk_2, \quad C_1 = F(I_{24,0}) \oplus I_{24,1} \oplus rk_{48},$$

$$C_2 = I_{24,2} \oplus wk_3, \quad C_3 = F(I_{24,2}) \oplus I_{24,3} \oplus rk_{49}.$$

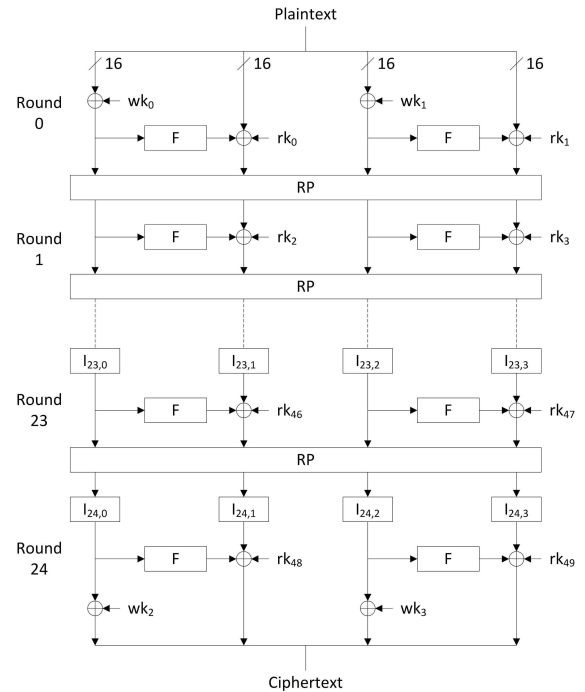


그림 1. Piccolo-80의 전체 구조  
Fig. 1. The structure of Piccolo-80.

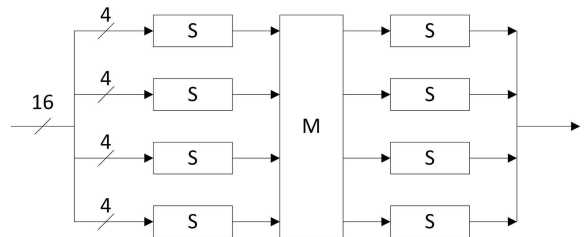


그림 2. 라운드 함수  $F$   
Fig. 2. Round function  $F$  of Piccolo-80.

라운드 함수  $F$ 는 그림 2와 같이 16-비트 입출력을 갖는 함수로 SMS 구조이다. 본 논문에서 제안하는 공격은  $4 \times 4$  S-box  $S$ 와  $4 \times 4$  행렬  $M$ 의 구체적인 성질을 이용하지 않으므로 생략하기로 한다. 이

함수에 대한 자세한 소개는 [1]을 참조하라. 라운드 치환  $RP$ 는 그림 3과 같이 64-비트 입력값  $X = (x_0, x_1, x_2, x_3)$ 을 입력받아 64-비트 출력값  $Y = (y_0, y_1, y_2, y_3)$ 을 생성하는 바이트 단위 치환이다. 여기서  $x_i = (x_i^L, x_i^R)$ 이다.

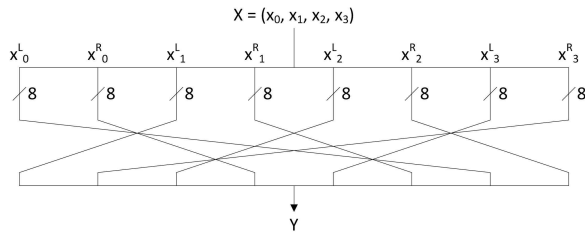


그림 3. 라운드 치환  $RP$

Fig. 3. Round permutation  $RP$  of Piccolo-80.

Piccolo-80의 키스케줄은 매우 단순하다. 먼저 80-비트 비밀키  $K$ 를 다음과 같이 5개의  $k_j$ 로 나눈다 ( $j = 0, 1, 2, 3, 4$ ). 여기서  $k_j = (k_j^L, k_j^R)$ 이다.

$$K = (k_0, k_1, k_2, k_3, k_4).$$

4개의 화이트닝 키 ( $wk_0, wk_1, wk_2, wk_3$ )와 25개의 라운드 키 ( $rk_{2i}, rk_{2i+1}$ )는 다음과 같이 생성된다 ( $i = 0, 1, \dots, 24$ ). 여기서 ( $con_{2i}^{80}, con_{2i+1}^{80}$ )은 각각 16-비트 라운드 상수이다. 이 상수들을 계산하는 방법은 [1]을 참조하라.

화이트닝 키

$$wk_0 = k_0^L \parallel k_1^R, \quad wk_1 = k_1^L \parallel k_0^R,$$

$$wk_2 = k_4^L \parallel k_3^R, \quad wk_3 = k_3^L \parallel k_4^R.$$

라운드 키

$$(rk_{2i}, rk_{2i+1}) = (con_{2i}^{80}, con_{2i+1}^{80}) \oplus \begin{cases} (k_2, k_3), & i \pmod{5} \equiv 0 \text{ or } 2, \\ (k_0, k_1), & i \pmod{5} \equiv 1 \text{ or } 4, \\ (k_4, k_4), & i \pmod{5} \equiv 3. \end{cases}$$

표 1. 라운드 키에 사용된 비밀키

Table 1. Secret key used in round keys.

라운드 $i$	비밀키 정보
0	$(k_2, k_3)$
1	$(k_0, k_1)$
$\vdots$	$\vdots$
23	$(k_4, k_4)$
24	$(k_0, k_1)$

표 1은 각각의 라운드 키에 사용된 비밀키 정보를 나타낸 것이다. 예를 들어, 라운드 24의 라운드 키 ( $rk_{48}, rk_{49}$ )에 비밀키 정보 ( $k_0, k_1$ )이 각각 적용되었다.

### III. 오류 주입 가정 및 오류 주입 위치 계산

본 절에서는 우선 라운드 23의 입력 레지스터에 오류 주입을 가정한 후, 주입된 오류의 위치를 계산하는 방법을 소개한다.

#### 3-1 오류 주입 가정

본 논문에서 제안하는 공격의 오류 주입 가정은 다음과 같다.

- 공격자는 한 개의 평문을 선택한 후, 오류가 발생하지 않은 알고리즘을 이용한 평문/암호문 쌍 ( $P, C$ )와, 오류가 발생한 알고리즘을 이용한 평문/암호문 쌍 ( $P, C^*$ )를 얻을 수 있다.
- 공격자는 라운드 23의 입력 레지스터에 랜덤 바이트 오류를 주입할 수 있다.
- 오류의 위치와 오류 주입을 통해 발생하는 차분 값을 알 수 없다.

위의 오류 주입 가정에 따라, 라운드 23의 입력 레지스터 각각의 바이트, 즉  $I_{23,i}^j$  ( $i = 0, 1, 2, 3, j = L, R$ )에 오류가 주입될 수 있다. 따라서 가능한 오류 주입의 위치는 8가지이다. 각각의 경우를 다음과 같이 표기하기로 한다:  $E_{23,i}^j$ . 예를 들어,

$E_{23,0}^L$  은 랜덤 바이트 오류가  $I_{23,0}^L$  에 주입된 경우를 의미한다.

3-2 오류 주입 위치 계산

본 소절에서는 암호문 차분으로부터 앞에서 정의한 8가지의 경우 중 정확한 오류 주입의 위치를 계산하는 방법을 소개한다.

3-2-1  $E_{23,0}$

라운드 23의 입력 레지스터 중  $I_{23,0}$ 에 오류가 주입되었다고 가정한다 (즉,  $E_{23,0}^L$  과  $E_{23,0}^R$ ). 그림 4는  $E_{23,0}^L$  과  $E_{23,0}^R$  에서의 차분 확산을 나타낸 것이다. 그림에서 파란색 선은  $E_{23,0}^L$  을 의미하고, 빨간색 선은  $E_{23,0}^R$  을 의미한다.

가정에 의해,  $I_{23,0}$ 에서의 차분  $\Delta I_{23,0}$ 은  $(\alpha, 0)$  또는  $(0, \alpha)$  형태가 된다 ( $\alpha \neq 0$ ). 그러면, 라운드 함수  $F$ 의 특성 상, 입력 차분이  $(\alpha, 0)$  또는  $(0, \alpha)$ 의 형태일 때 출력 차분은  $(\beta, \gamma)$ 의 형태가 된다 ( $\beta \neq 0, \gamma \neq 0$ ). 따라서  $E_{23,0}^L$  과  $E_{23,0}^R$ 의 경우, 서로 구별할 수 없으며 암호문의 차분은 다음과 같은 형태를 가진다. 여기서  $\alpha_1$ 와  $\alpha_2$ 는 0이 아닌 임의의 8-비트 차분값을 의미하며, '?'는 임의의 16-비트 차분값을 의미한다.

○  $E_{23,0}$ :  $\Delta C = (\alpha_1 \parallel 0, ?, 0 \parallel \alpha_2, ?)$ .

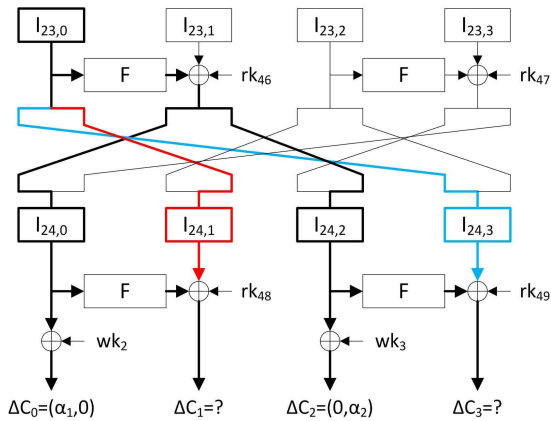


그림 4.  $E_{23,0}$   
Fig. 4.  $E_{23,0}$ .

3-2-2  $E_{23,1}^L$  과  $E_{23,1}^R$

라운드 23의 입력 레지스터 중  $I_{23,1}$ 에 오류가 주입되었다고 가정한다 (즉,  $E_{23,1}^L$  과  $E_{23,1}^R$ ). 이 경우의 차분 확산은 그림 5와 같다. 그림에서 파란색 선은  $E_{23,1}^L$  을 의미하고, 빨간색 선은  $E_{23,1}^R$  을 의미한다.

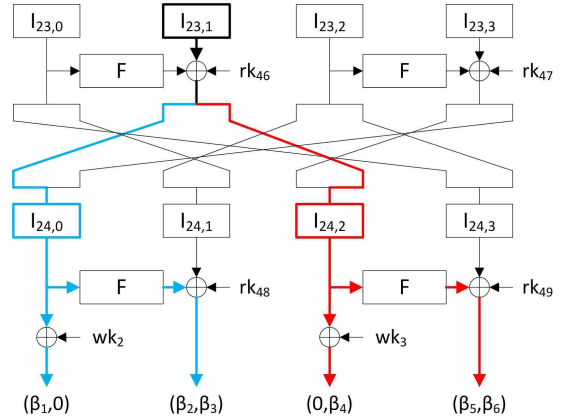


그림 5.  $E_{23,1}$   
Fig. 5.  $E_{23,1}$ .

각각의 경우에 대해, 암호문의 차분은 다음과 같은 형태를 가진다. 여기서  $\beta_j$ 는 0이 아닌 임의의 8-비트 차분값을 의미한다 ( $j = 1, \dots, 6$ ).

- $E_{23,1}^L$ :  $\Delta C = (\beta_1 \parallel 0, \beta_2 \parallel \beta_3, 0, 0)$ .
- $E_{23,1}^R$ :  $\Delta C = (0, 0, 0 \parallel \beta_4, \beta_5 \parallel \beta_6)$ .

3-2-3  $E_{23,2}$

$I_{23,2}$ 에 오류가 주입되었다고 가정한다 (즉,  $E_{23,2}^L$  과  $E_{23,2}^R$ ). 이 경우의 차분 확산은 그림 6과 같다. 그림에서 파란색 선은  $E_{23,2}^L$  을 의미하고, 빨간색 선은  $E_{23,2}^R$  을 의미한다.

$E_{23,0}$ 와 유사하게,  $E_{23,2}^L$  과  $E_{23,2}^R$ 도 서로 구별할 수 없으며 다음과 같은 암호문 차분의 형태를 가진다. 여기서  $\gamma_1$ 와  $\gamma_2$ 는 0이 아닌 임의의 8-비트 차분값을 의미하며, '?'는 임의의 16-비트 차분값을 의미한다.

○  $E_{23,2}$ :  $\Delta C = (0 \parallel \gamma_1, ?, \gamma_2 \parallel 0, ?)$ .

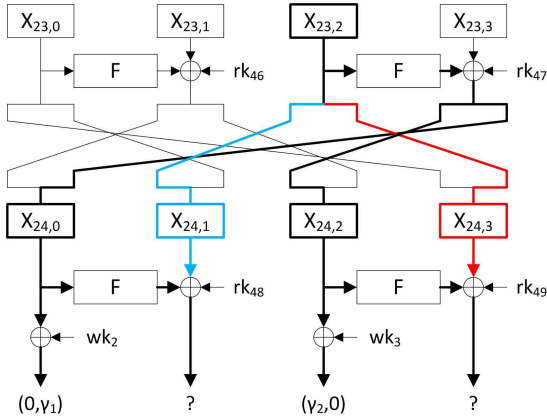


그림 6.  $E_{23,2}$   
Fig. 6.  $E_{23,2}$ .

3-2-4  $E_{23,3}^L$  과  $E_{23,3}^R$

$E_{23,3}^L$  과  $E_{23,3}^R$  경우의 차분 확산은 그림 7과 같다. 그림에서 파란색 선은  $E_{23,3}^L$  을 의미하고, 빨간색 선은  $E_{23,3}^R$  을 의미한다.

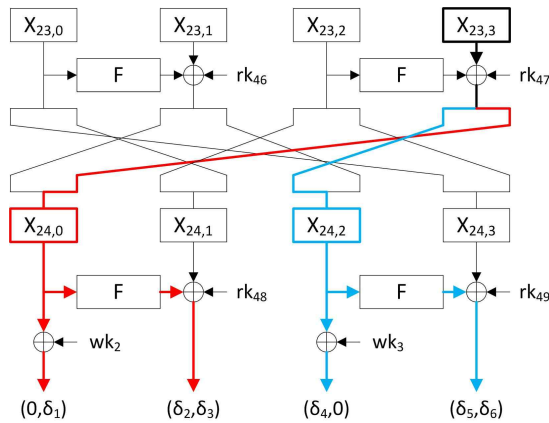


그림 7.  $E_{23,3}$   
Fig. 7.  $E_{23,3}$ .

각각의 경우에 대해, 암호문의 차분은 다음과 같은 형태를 가진다. 여기서  $\delta_j$ 는 0이 아닌 임의의 8-비트 차분값을 의미한다 ( $j = 1, \dots, 6$ ).

○  $E_{23,3}^L$ :  $\Delta C = (0, 0, \delta_4 \parallel 0, \delta_5 \parallel \delta_6)$ .

○  $E_{23,3}^R$ :  $\Delta C = (0 \parallel \beta_1, \beta_2 \parallel \beta_3, 0, 0)$ .

위에서 소개한 암호문의 차분 형태를 통해, 각각의 경우를 쉽게 구별할 수 있음을 알 수 있다.

#### IV. Piccolo-80에 대한 차분 오류 공격

본 절에서는 Piccolo-80에 대한 차분 오류 공격을 제안한다. 공격 과정을 소개하기에 앞서, 오류가 주입된 위치를 계산한 후 각각의 경우에 대해 비밀키 정보를 얻을 수 있는 방법을 먼저 소개한다.

##### 4-1 오류의 위치에 따른 비밀키 복구

앞에서 암호문의 차분 형태를 통해 오류가 주입된 위치를 계산하였다. 각각의 경우에 대한 암호문의 차분 형태를 정리하면 표 2와 같다.

표 2. 오류 주입 위치에 따른 암호문 차분의 형태  
Table 2. Ciphertext differences for the positions of fault injections.

오류 주입 위치	암호문 차분
$E_{23,0}$	$(\alpha_1 \parallel 0, ?, 0 \parallel \alpha_2, ?)$
$E_{23,1}^L$	$(\beta_1 \parallel 0, \beta_2 \parallel \beta_3, 0, 0)$
$E_{23,1}^R$	$(0, 0, 0 \parallel \beta_4, \beta_5 \parallel \beta_6)$
$E_{23,2}$	$(0 \parallel \gamma_1, ?, \gamma_2 \parallel 0, ?)$
$E_{23,3}^L$	$(0, 0, \delta_4 \parallel 0, \delta_5 \parallel \delta_6)$
$E_{23,3}^R$	$(0 \parallel \beta_1, \beta_2 \parallel \beta_3, 0, 0)$

##### 4-1-1 $E_{23,0}$

랜덤 바이트 오류가  $I_{23,0}$ 에 주입되었다고 가정한다. 이 경우,  $2^{16}$ 개의 후보 48-비트 ( $k_0^R, k_1^L, k_3, k_4$ )를 다음과 같은 과정을 통해 얻을 수 있다.

- (1) 16-비트  $wk_2 (= k_4^L \parallel k_3^R)$ 을 추측하여, 라운드 24에서의 왼쪽  $F$  함수의 상위 8-비트 출력 차분이  $\Delta C_1$ 의 상위 8-비트 값과 동일한지 체크한다 (그림 4 참조). 이 단계를 통과할 확률이  $2^{-8}$ 이므로

로,  $2^8$ 개의 후보  $(k_3^R, k_4^L)$ 를 얻을 수 있다.

- (2) 16-비트  $wk_3 (= k_3^L \parallel k_4^R)$ 을 추측하여, 라운드 24에서의 오른쪽  $F$  함수의 하위 8-비트 출력 차분이  $\Delta C_3$ 의 하위 8-비트 값과 동일한지 체크한다 (그림 4 참조). 이 단계를 통과할 확률이  $2^{-8}$ 이므로,  $2^8$ 개의 후보  $(k_3^L, k_4^R)$ 를 얻을 수 있다.
- (3)  $rk_{48} (= con_{48}^{80} \oplus k_0)$ 의 하위 8-비트 값과  $rk_{49} (= con_{49}^{80} \oplus k_1)$ 의 상위 8-비트 값을 추측한 후, 단계 (1)과 (2)를 통과한  $2^{16}$ 개의 후보  $(k_3, k_4)$ 를 이용하여 라운드 23에서의 왼쪽  $F$  함수를 만족하는지 체크한다 (그림 4 참조). 이 단계를 통과할 확률이  $2^{-16}$ 이므로,  $2^{16}$ 개의 후보  $(k_0^R, k_1^L, k_3, k_4)$ 를 얻을 수 있다.

위의 공격 과정을 통해,  $I_{23,0}$ 에 주입된 1개의 랜덤 바이트 오류를 이용하여  $2^{16}$ 개의 후보 48-비트  $(k_0^R, k_1^L, k_3, k_4)$ 를 계산할 수 있다.

#### 4-1-2 $E_{23,1}$

랜덤 바이트 오류가  $I_{23,1}$ 에 주입되었다고 가정한다. 이 경우, 다음과 같은 과정을 통해 옳은 16-비트  $(k_3^R, k_4^L)$  ( $E_{23,1}^L$ ) 또는  $(k_3^L, k_4^R)$  ( $E_{23,1}^R$ )을 각각 얻을 수 있다.

##### ○ $E_{23,1}^L$

- 16-비트  $wk_2 (= k_4^L \parallel k_3^R)$ 을 추측하여, 라운드 24에서의 왼쪽  $F$  함수의 출력 차분이  $\Delta C_1$ 과 동일한지 체크한다 (그림 5 참조). 이 단계를 통과할 확률이  $2^{-16}$ 이므로, 옳은  $(k_3^R, k_4^L)$ 를 얻을 수 있다.

##### ○ $E_{23,1}^R$

- 16-비트  $wk_3 (= k_3^L \parallel k_4^R)$ 을 추측하여, 라운드 24에서의 오른쪽  $F$  함수의 출력 차분이  $\Delta C_3$ 과 동일한지 체크한다 (그림 5 참조). 이 단계를 통과할 확률이  $2^{-16}$ 이므로, 옳은  $(k_3^L, k_4^R)$ 를 얻을 수 있다.

#### 4-1-3 $E_{23,2}$

랜덤 바이트 오류가  $I_{23,2}$ 에 주입되었을 경우,  $2^{16}$ 개의 후보 48-비트  $(k_0^L, k_1^R, k_3, k_4)$ 를 다음과 같은 과정을 통해 얻을 수 있다.

- (1) 16-비트  $wk_2 (= k_4^L \parallel k_3^R)$ 을 추측하여, 라운드 24에서의 왼쪽  $F$  함수의 하위 8-비트 출력 차분이  $\Delta C_1$ 의 하위 8-비트 값과 동일한지 체크한다 (그림 6 참조). 이 단계를 통과할 확률이  $2^{-8}$ 이므로,  $2^8$ 개의 후보  $(k_3^R, k_4^L)$ 를 얻을 수 있다.
- (2) 16-비트  $wk_3 (= k_3^L \parallel k_4^R)$ 을 추측하여, 라운드 24에서의 오른쪽  $F$  함수의 상위 8-비트 출력 차분이  $\Delta C_3$ 의 상위 8-비트 값과 동일한지 체크한다 (그림 6 참조). 이 단계를 통과할 확률이  $2^{-8}$ 이므로,  $2^8$ 개의 후보  $(k_3^L, k_4^R)$ 를 얻을 수 있다.
- (3)  $rk_{48} (= con_{48}^{80} \oplus k_0)$ 의 상위 8-비트 값과  $rk_{49} (= con_{49}^{80} \oplus k_1)$ 의 하위 8-비트 값을 추측한 후, 단계 (1)과 (2)를 통과한  $2^{16}$ 개의 후보  $(k_3, k_4)$ 를 이용하여 라운드 23에서의 오른쪽  $F$  함수를 만족하는지 체크한다 (그림 6 참조). 이 단계를 통과할 확률이  $2^{-16}$ 이므로,  $2^{16}$ 개의 후보  $(k_0^L, k_1^R, k_3, k_4)$ 를 얻을 수 있다.

#### 4-1-4 $E_{23,3}$

마지막으로 랜덤 바이트 오류가  $I_{23,3}$ 에 주입되었다고 가정한다. 이 경우, 다음과 같은 과정을 통해 옳은 16-비트  $(k_3^L, k_4^R)$  ( $E_{23,3}^L$ ) 또는  $(k_3^R, k_4^L)$  ( $E_{23,3}^R$ )을 각각 얻을 수 있다.

##### ○ $E_{23,3}^L$

- 16-비트  $wk_3 (= k_3^L \parallel k_4^R)$ 을 추측하여, 라운드 24에서의 오른쪽  $F$  함수의 출력 차분이  $\Delta C_3$ 과 동일한지 체크한다 (그림 7 참조). 이 단계를 통과할 확률이  $2^{-16}$ 이므로, 옳은  $(k_3^L, k_4^R)$ 를 얻을 수 있다.

○  $E_{23,3}^R$ 

- 16-비트  $wk_2 (= k_4^L \parallel k_3^R)$ 을 추측하여, 라운드 24에서의 왼쪽  $F$  함수의 출력 차분이  $\Delta C_1$ 과 동일 한지 체크한다 (그림 7 참조). 이 단계를 통과할 확률이  $2^{-16}$ 이므로, 옳은  $(k_3^R, k_4^L)$ 를 얻을 수 있다.

## 4-2 Piccolo-80에 대한 DFA

본 논문에서 제안하는 Piccolo-80에 대한 차분 오류 공격은 크게 두 단계로 구성된다. 먼저, 암호문의 차분 형태를 통해 오류가 주입된 위치를 계산한다. 그리고 계산된 위치에 따라 비밀키의 부분 정보를 복구한다.

Piccolo-80에 대한 DFA 공격 과정은 다음과 같다.

- (1) [오류가 발생하지 않은 데이터 수집] 오류가 발생하지 않은 알고리즘을 이용하여 평문  $P$ 에 대한 암호문  $C = (C_0, C_1, C_2, C_3)$ 을 얻는다.
- (2) [오류가 발생한 데이터 수집] 라운드 23의 입력 레지스터  $I_{23} = (I_{23,0}, I_{23,1}, I_{23,2}, I_{23,3})$ 에 랜덤 바이트 오류  $\Delta^i$ 를  $n$ 번 주입한 후, 해당 오류에 대한 암호문  $C^i$ 를 얻는다 ( $i = 1, \dots, n$ ).
- (3) [오류 위치 계산]  $(C, C^i)$ 로부터  $\Delta C^i$ 를 계산한 후, 표 2를 이용하여 정확한 오류 주입의 위치를 각각 계산한다.
- (4) [후보  $(k_0, k_1, k_3, k_4)$  계산] 단계 (3)에서 계산한 오류의 위치에 따라, 4-1절에서 소개한 방법을 이용하여 후보  $(k_0, k_1, k_3, k_4)$ 를 모든  $\Delta^i$ 에 대해 계산한다.
- (5) [Piccolo-80의 80-비트 비밀키 복구] 16-비트  $k_2$ 를 추측한 후, 단계 (4)를 통과한 후보  $(k_0, k_1, k_3, k_4)$ 를 이용하여 한 개의 평문/암호문 쌍에 대해 전수조사를 수행한다. 이 단계를 통과한  $(k_0, k_1, k_2, k_3, k_4)$ 를 Piccolo-80의 80-비트 비밀키로 출력한다.

위의 공격 과정을 일반적인 PC에서 구현한 결과, 평균 6개의 랜덤 바이트 오류를 주입하면 약  $2^8$ 개의

후보  $(k_0, k_1, k_3, k_4)$ 를 얻을 수 있다. 따라서 총  $2^{24}$  ( $= 2^8 \cdot 2^{16}$ )개의 후보  $(k_0, k_1, k_2, k_3, k_4)$ 에 대해 전수조사를 수행한다. 이 단계를 통과할 확률은  $2^{-64}$ 이므로, 틀린 비밀키가 이 단계를 통과할 확률은  $2^{-40}$  ( $= 2^{24} \cdot 2^{-64}$ )이다. 이는 본 논문에서 제안하는 공격이 항상 옳은 80-비트 비밀키를 복구할 수 있음을 의미한다. 일반적인 PC에서 구현한 결과, 수 초 내에 항상 옳은 80-비트 비밀키를 복구할 수 있었다.

## V. 결 론

본 논문에서는 Piccolo-80에 대한 첫 번째 부채널 분석 결과를 제안하였다. 본 논문에서 제안한 공격을 이용하여, 랜덤 바이트 오류 가정 하에서, 라운드 23의 입력 레지스터에 랜덤 바이트 오류를 평균 6번 주입하여 비밀키를 복구할 수 있음을 보였다. 일반적인 PC에서 이 공격을 구현한 결과,  $2^{24}$ 의 전수 조사를 이용하여 수 초 내에 Piccolo-80의 비밀키를 복구할 수 있었다.

Piccolo-80이 제한된 환경에 적합한 경량 블록 암호 알고리즘임을 고려할 때, 본 논문의 결과를 통해 Piccolo-80의 안전성에 문제가 있음을 알 수 있다. 본 공격을 확장하여 Piccolo-128에 대한 DFA 분석은 향후 연구 과제이다.

## 감사의 글

본 논문은 지식경제부 IT R&D 사업의 일환으로 수행하였음 (유비쿼터스 환경에서의 정보보호 서비스를 위한 프라이버시 강화 암호 기술 개발)

## 참 고 문 헌

- [1] K. Shibutani, T. Isobe, H. Hiwatari, A. Mitsuda, T. Akishita and T. Shirai, "Piccolo: An Ultra-

Lightweight Blockcipher”, *CHES 2011, LNCS 6917*, pp. 342-357, Springer-Verlag, 2011.

[2] Y. Wang, W. Wu and X. Yu, “Biclique Cryptanalysis of Reduced-Round Piccolo Block Cipher”, *ISPEC 2012, LNCS 7232*, pp. 337-352, Springer-Verlag, 2012.

[3] E. Biham and A. Shamir, “Differential Fault Analysis of Secret Key Cryptosystems”, *Crypto 1997, LNCS 1294*, pp. 513-525, Springer-Verlag, 1997.

[4] 정기태, 성재철, 홍석희, “블록 암호 SEED에 대한 차분 오류 공격”, *정보보호학회논문지*, 제 20권, 제 4호, pp. 17-24, 2010.

[5] K. Jeong, Y. Lee, J. Sung and S. Hong, “Differential fault analysis on block cipher SEED”, *Mathematical and Computer Modelling*, Vol. 55, pp. 26-34, Elsevier, 2012.

[6] 박세현, 정기태, 이유섭, 성재철, 홍석희, “블록 암호 ARIA-128에 대한 차분 오류 공격”, *정보보호학회논문지*, 제 21권, 제 5호, pp. 15-25, 2011.

[7] 박세현, 정기태, 이유섭, 성재철, 홍석희, “PRESENT-80/128에 대한 향상된 차분 오류 공격”, *정보보호학회논문지*, 제 22권, 제 1호, pp. 33-41, 2012.

[8] 정기태, “무선 센서 네트워크 환경에 적합한 블록 암호 LED-64에 대한 안전성 분석”, *한국향행학회 논문지*, 제 16권, 제 1호, pp. 70-75, 2012.

정 기 태 (鄭基台)



2004년 2월 : 고려대학교 수학과 이학사  
 2006년 2월 : 고려대학교 정보보호 대학원 공학석사  
 2011년 8월 : 고려대학교 정보보호 대학원 공학박사  
 2011년 9월~현재 : 고려대학교 정보 보호연구원 박사후연구원

관심분야 : 대칭키 암호의 분석 및 설계